

جغرافیا و توسعه شماره ۲۲ اردیبهشت ۱۳۹۰

وصول مقاله : ۱۳۸۸/۳/۱۹

تأیید نهایی : ۱۳۸۹/۸/۲۵

صفحات : ۵۷ - ۷۲

پهنه‌بندی حساسیت دامنه‌ها به ناپایداری (لغزش) در حوضه‌ی آبخیز جوانرود با استفاده از مدل آماری دو متغیره تراکم سطح

دکتر زهرا رحیم‌زاده

استادیار ژئومورفولوژی دانشگاه رازی کرمانشاه

عباس امینی

کارشناس ارشد جغرافیای طبیعی

چکیده

جابجایی توده‌ای مواد از قبیل لغزش از جمله فرآیندهای دامنه‌ای مشکل آفرین در حوضه‌ی جوانرود واقع در شمال غرب زاگرس چین خورده است. زیرا این پدیده تخریب اراضی جنگلی، زمین‌های کشاورزی و مراتع این منطقه را به همراه داشته و برای تردد جاده‌ای نیز یک تهدید به شمار می‌رود. از این‌رو شناسایی پهنه‌های حساس به زمین‌لغزش برای ساکنین منطقه حائز اهمیت است. مطالعه‌ی حاضر در این راستا صورت گرفته است و جهت نیل به این هدف نیز از روش آماری دو متغیره تراکم سطح استفاده شده است.

برای این منظور ابتدا لایه‌ی پراکنش ۳۱ نقطه‌ی لغزشی به وقوع پیوسته در سطح حوضه به عنوان متغیر وابسته و ۸ لایه تأثیرگذار بر وقوع لغزش مانند لیتوولوژی، شبب، فاصله از جاده، فاصله از زهکش، فاصله از سکونتگاه، جهت‌گیری دامنه، شکل دامنه (مورفولوژی) و کاربری اراضی به عنوان متغیرهای مستقل تهیه گردیدند. سپس از طریق هم‌پوشانی و قطع یک به یک نقشه‌های عامل با نقشه پراکنش لغزش به‌طور مستقل و جداگانه، تراکم سطح لغزش در هر رده یا طبقه از عوامل فوق محاسبه گردید. آنگاه از ترکیب و تلفیق مقادیر وزنی تمام لایه‌ها با فرض وجود یک حداقل همبستگی بین هر متغیر با متغیر دیگر، نقشه‌ی پهنه‌بندی پتانسیل لغزش در ۴ سطح: پهنه با خطر خیلی زیاد، پهنه با خطر زیاد، پهنه با خطر متوسط و پهنه با خطر کم به دست آمد. نتایج نشان داده است که از نظر لیتوولوژی، رخداد بیشترین مقدار لغزش بر روی دو واحد گورپی و رادیولاریت بوده است. از لحاظ شبب، طبقه‌ی شبب ۱۸-۶ درصد، از نظر جهت‌گیری دامنه، دامنه‌های رو به شمال شرق و از نظر شکل دامنه و کاربری اراضی نیز، اراضی تپه ماهوری با دامنه‌های محدب و منظم و پوشیده از جنگل بلوط تخریب شده بیشترین مقدار تراکم لغزش را به خود اختصاص داده‌اند. اما مهمترین نتیجه، تبعیت بیشترین تراکم نقاط لغزشی تا شعاع ۲۰۰ متری از جاده و بستر زهکش‌ها بوده است. بر اساس این نتایج حدود ۶۵ درصد از اراضی حوضه جوانرود دارای پتانسیل لغزش با خطر زیاد و خیلی زیاد است.

کلیدواژه‌ها: پهنه‌بندی، حرکات توده‌ای، مدل آماری دو متغیره تراکم سطح، حوضه‌ی آبخیز جوانرود.

مقدمه

پدیده‌ی لغزش به عنوان یکی از فرآیندهای مهم دامنه‌ای، تابع شرایط خاصی است. این شرایط مجموعه متغیرهایی را در بر می‌گیرد که تأثیر مشترک و همزمان آنها باعث لغزش و در نتیجه جابجایی ناگهانی حجم زیادی از مواد در سطح دامنه‌ها می‌شود. وقتی چنین شرایطی در یک محیط حاکم باشد، در آن صورت دخالت انسان در سطح دامنه‌ها به منظور ایجاد باغ، راهسازی، خانه‌سازی و کشاورزی می‌تواند احتمال وقوع آن را افزایش دهد. زیرا این قبیل اقدامات منجر به تغییر چهره دامنه و یا ایجاد شرایطی می‌شود که متغیرهای مؤثر در وقوع لغزش به آن نیاز دارند. از این‌رو لازمه‌ی اجرای هر اقدام در چنین محیط‌هایی، شناسایی مناطق حساس به لغزش و رتبه‌بندی آنها از نظر شدت و ضعف است. حوضه‌ی آبخیز جوانرود واقع در بخش شمال‌غرب زاگرس چین‌خورده (در محدوده‌ی استان کرمانشاه) نمونه‌ی چنین محیطی است و پهنه‌بندی خطر وقوع لغزش در حوضه‌ی مورد نظر نیز تلاشی است که در این راستا صورت می‌گیرد. جهت پهنه‌بندی خطر وقوع لغزش، کارهای زیادی صورت گرفته است. به عنوان نمونه می‌توان به کارهای شادرف و همکاران (۱۳۸۷: ۶۴-۵۷)، کرم و محمودی (۱۳۸۴: ۱۱۴)، هاشمی طباطبایی (۱۳۷۱: ۲۵-۲۱)، حق‌شناس (۱۳۷۶: ۹۵-۱۰۱)، جباری (۱۳۸۳: ۱۷-۱)، آنبالاگان^۱ (۱۳۹۱: ۸۶۱-۸۶۱)، موری‌راس^۲ (۲۰۰۵: ۳۵۷-۳۴۵)، و سارولی^۳ (۲۰۰۱: ۱۱۱۳-۹۵۱۰) اشاره کرد. عوامل مؤثر در وقوع لغزش متعدد بوده و نقش هر عامل نیز ممکن است در یک محیط ویژه برتر از عوامل دیگر باشد. مثلاً با آنکه سه عامل جنس زمین، شب و آب، عوامل بنیانی در وقوع لغزش به شمار می‌روند (کوک و دورکمپ^۴، ۱۳۷۷: ۲۱۰-۱۲۰، آتكین و جانسون^۵، ۱۹۸۱: ۱۶۱-۱۴۷)، محمودی، (۱۳۸۲: ۴۷-۴۳)، حمدی و اسفندیاری، (۱۳۸۰: ۳۲۳)، مهمترین عامل در وقوع لغزش در منطقه‌ی اردل استان چهارمحال و بختیاری را ویژگی‌های فیزیکی و شیمیایی خاک معرفی کرده‌اند.

خطیی (۱۳۸۳: ۱۱۵) ویژگی‌های تکنیکی و ریخت‌شناسی نهشته‌های سطحی را در دامنه‌های شمالی قوشیداغ دلیل وقوع لغزش‌های سطحی می‌داند. دی‌ولی (۲۰۰۲: ۲۱۴) نیز به نقش بارش‌های سنگین در وقوع لغزش‌های جزیره‌ی لانتوهونگ کنگ اشاره می‌کند. در همین زمینه تاربک و لوتكین^۶ (۱۹۸۹: ۱۲۱) هم زمین‌لرزه‌ی سال ۱۸۱۱ در نیومادرید امریکا را سبب زمین‌لغزه‌ای به وسعت ۱۳۰۰۰ کیلومتر مربع در امتداد رود می‌سی‌پی معرفی کرده‌اند.

1-Anbalagan, R

2-Moreiras, S. M

3-Sarolee, K. M

4- Cooke, R. U; Doornkamp, J. C

5-Atkin, B. C; Johnson, J. A

6-lutgeen, F& E, Tarbuck

به همین دلایل است که محققین در بررسی‌های منطقه‌ای خود در خصوص حرکات توده‌های بخصوص لغزش، روش‌های مختلف را مورداً زمون و ارزیابی قرار می‌دهند تا بتوانند عوامل اصلی در وقوع لغزش را بهتر شناسایی کنند و بر پایه‌ی آن امکان پیش‌بینی دقیق‌تر این پدیده میسر گردد. در این خصوص نیز می‌توان به کارهای شیرانی و همکاران (۱۳۸۴؛ ۴۷-۳۶)، فرهادی‌نژاد (۱۳۸۲)؛ فاطمی و همکاران (۱۳۸۲)، شریعت جعفری و غیومیان (۱۳۸۷؛ ۱۴۳-۱۳۷)، شادرف و همکاران (۱۳۸۷؛ ۵۷-۶۴)، کرم (۱۳۸۰؛ ۲۴۷-۲۴۵) و آنالاگان (۱۹۹۲؛ ۲۷۷-۲۶۹) اشاره کرد.

از جمله روش‌هایی که در بررسی عوامل مؤثر در وقوع لغزش و یا پهنه‌بندی آن در حوضه‌های مختلف مورد استفاده قرار می‌گیرد، روش آماری دو متغیره‌ی تراکم سطح است. این روش که ابتدا توسط ون‌وستن^۱ در ۱۹۹۳ و ۱۹۹۷ مورد استفاده قرار گرفته است. بر پایه‌ی تأثیر متقابل هر عامل یا متغیر تأثیرگذار بر وقوع لغزش (به عنوان متغیر مستقل) با پدیده‌ی لغزش (به عنوان متغیر وابسته) به‌طور مستقل بنا نهاده شده است. بنا به اظهار پژوهشگران، چون در این روش میزان اثر هر عامل، مستقل از دیگر عوامل مورد ارزیابی قرار می‌گیرد، چنانچه این عوامل در هرمنطقه با دقت تعیین گردند، با این روش می‌توان بهنتایج قبل قبولی دست یافت. کارهای انجام شده با این روش و نتایج حاصل از آن توسط: گازتی و همکاران^۲ (۲۰۰۰؛ ۲۶۳-۲۴۷)، سارا و کینگ‌داس^۳ (۲۰۰۱؛ ۱۱۱۳-۱۰۹۵)، فاطمی عقدا و همکاران (۱۳۸۲؛ سیارپور (۱۳۷۸)، جلالی (۱۳۸۱)؛ حق‌شناس (۱۳۷۵)، ون‌وستن (۱۹۹۷)، شیرانی و همکاران (۱۳۸۴؛ ۴۷-۳۶) را می‌توان شواهد این امر معرفی کرد. با توجه به این یافته‌ها، در این تحقیق نیز، حوضه‌ی آبخیز جوانرود از نظر خطر وقوع این پدیده با ارزیابی نقش مهمترین عوامل مؤثر در رخداد آن بخصوص شکل دامنه‌ها (مورفولوژی) به کمک مدل آماری دو متغیره پهنه‌بندی می‌شود.

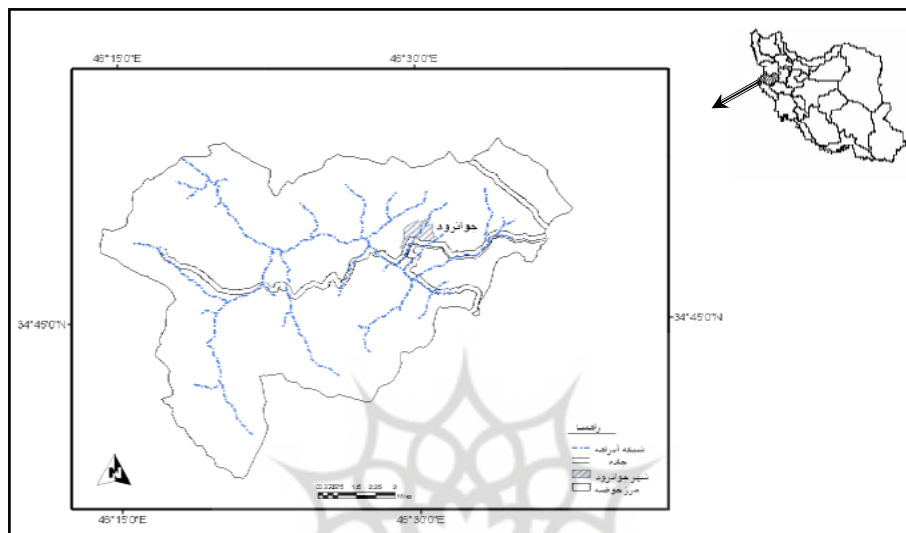
منطقه‌ی مورد مطالعه محدوده‌ی بین^۱ ۱۶° تا ۴۶° طول شرقی و ۳۹° تا ۳۴° عرض شمالی از بخش شمال غرب زاگرس چین‌خورده را در برمی‌گیرد. زهکش اصلی آن رودخانه لیله نام دارد که جزو سیستم سیروان است. رودخانه‌ی لیله آبهای سطحی حدود ۳۷۳ کیلومترمربع از منطقه‌ی جوانرود را جمع‌آوری و سپس به رودخانه‌ی سیروان می‌رساند (شکل ۱).

1-Vanwasten

2-Gazzetti et, al

3-Sara & kyung duck

حوضه‌ی آبخیز جوانرود منطقه‌ای کاملاً کوهستانی با نوسان ارتفاعی بین ۱۰۰۰ (نقطه خروجی) تا ۲۷۰۸ متر (قله شاهو) است. کوه‌های بهم فشرده با دامنه‌های پرشیب و دره‌های عمیق از ویژگی‌های توپوگرافی آن است.



شکل ۱: موقعیت حوضه آبخیز جوانرود

مأخذ: نگارنده‌گان

کوهستانی بودن و قرار گرفتن در مسیر بادهای مرطوب غربی، باعث حاکمیت آب و هوای نیمه‌مرطوب سرد در منطقه‌ی جوانرود گردیده است (امینی، ۱۳۸۵: ۷۱). میانگین سالانه‌ی درجه حرارت در منطقه ۱۵/۶ درجه‌ی سانتیگراد با رطوبت نسبی ۴۵ درصد و بارش سالانه‌ی آن نیز حدود ۶۰۰ میلیمتر است (تبری و همکاران، ۱۳۸۷: ۶۰). آب حاصل از بارش باران و یا ذوب برف که به صورت چشمه‌های متعدد در کف دره‌ها ظاهر پیدا می‌کند، منبع تغذیه‌ی دائمی زهکش اصلی حوضه یا رودخانه‌ی لیله می‌شوند. رودخانه‌ی لیله رود پرآبی نیست ولی جریان پایه‌ی آن دائمی است. سیستم تشکیلات زمین‌شناسی عاملی بوده تا رود لیله بتواند با شبکه‌ی گسترده‌ای از آبراهه‌های فرعی، دره‌های عمیقی در منطقه ایجاد کند. با این حال تنها در حاشیه‌ی زهکش اصلی می‌توان سطوح هموار دشت سیلابی و یا تراس‌های جوان را در ابعاد کم مشاهده کرد.

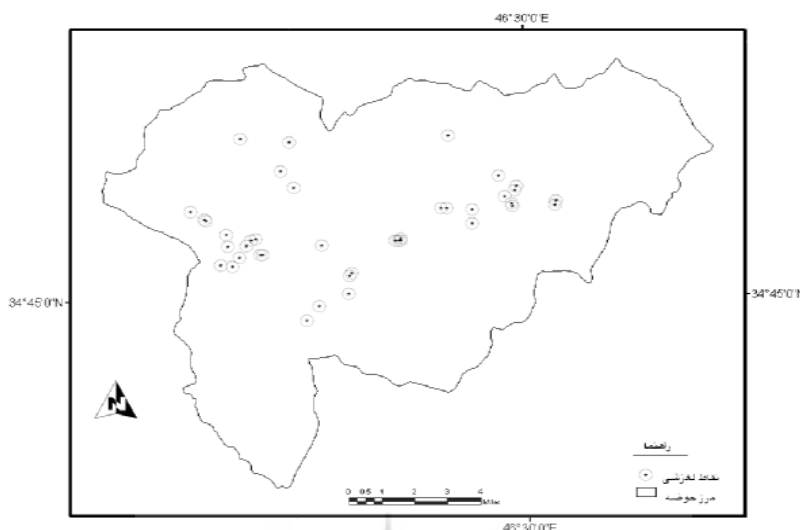
ساختار منطقه‌ی جوانرود چین خورده است، ولی به دلیل ساختمان سنگ‌شناسی متفاوت، شکل چین‌ها و ارتفاع آنها بسیار متفاوت است. از این نظر کوههای منطقه را می‌توان به دو واحد کوههای برجسته و اراضی تپه ماهوری تقسیم کرد.

کوههای برجسته یا مانند کوه شاهو و دوله لو از تناوب آهک تیره با مارن خاکستری (سازندرسوک) ساخته شده‌اند و یا مانند کوههای زلان و کشه کوه از تناوب آهک‌های رسی سیاه تا خاکستری و شیل‌های سیاه (سازنده گرو) می‌باشند. در هر دو حالت شکل کوهها به صورت هاگ‌بک (هم شبیب) است و دامنه‌های ساختمانی آنها رو به داخل حوضه می‌باشد. خط الرأس این کوهها به طور متوسط در ارتفاع ۲۰۰۰ متر کشیده شده است.

اما اراضی تپه‌ی ماهوری بخش میانی و شرقی حوضه را در بر می‌گیرد و به دو گروه تپه‌های بلند با دامنه‌های مستقیم (ارتفاع نسبی بیشتر از ۲۰۰ متر) و تپه‌های کوتاه با دامنه‌های محدب (ارتفاع نسبی کمتر از ۲۰۰ متر) قابل تقسیم هستند. جنس این اراضی در بخش میانی حوضه از سازند گورپی مشتمل بر مارن خاکستری و شیل است و در مشرق حوضه نیز از رادیولاریت‌های کرمانشاه می‌باشد. لیتولوژی رادیولاریتها شامل چرت‌های قرمز، زرد تا سبز زیتونی، شیل‌های قرمز و سبزرنگ، آهک‌های سیلیسی و توده‌های آذرین‌بازی و فوق بازی مثل سرپانتین است. سطح این تپه‌ها یا پوشیده از جنگل تنک بلوط است و یا زیرکشت دیم قرار دارد. هر جا در سطح این اراضی شبکه‌های اجازه داده است، سکونتگاه روستایی پدید آمده است که دامداری و کشاورزی از عمدۀ فعالیت‌های اقتصادی آنهاست.

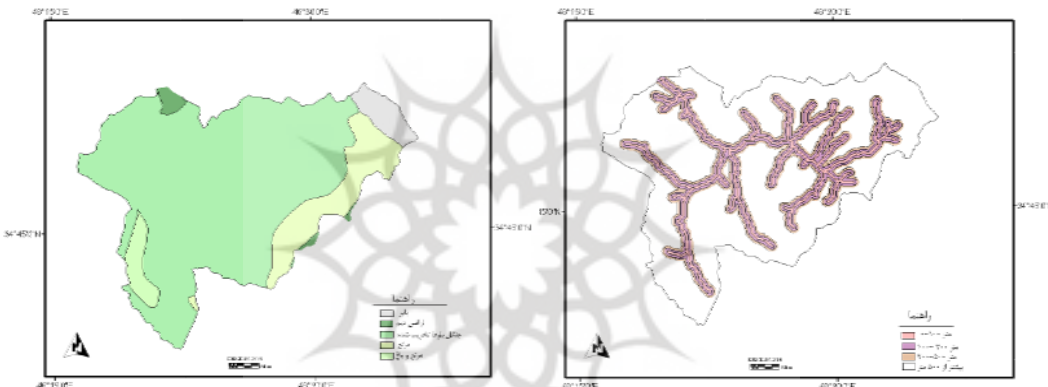
روش مطالعه

الف- داده‌ها و مواد مورد استفاده: اساس چنین تحقیق‌هایی را معمولاً اطلاعات حاصل از لغزش‌های به وقوع پیوسته در سطح حوضه مورد نظر تشکیل می‌دهد. از این‌رو ابتدا ۳۱ توده‌ی لغزشی در محدوده‌ی حوضه‌ی آبخیز جوانرود با پیمایش زمینی شناسایی شده‌اند و سپس ابعاد و موقعیت جغرافیایی آنها به وسیله‌ی متر دستی و GPS اندازه‌گیری گردید. با انتقال این اطلاعات بر روی نقشه‌ی توپوگرافی ۱: ۲۵۰۰۰ منطقه، داده‌ی اصلی این تحقیق یعنی نقش پراکنش لغزش تهیه گردید (شکل ۲).



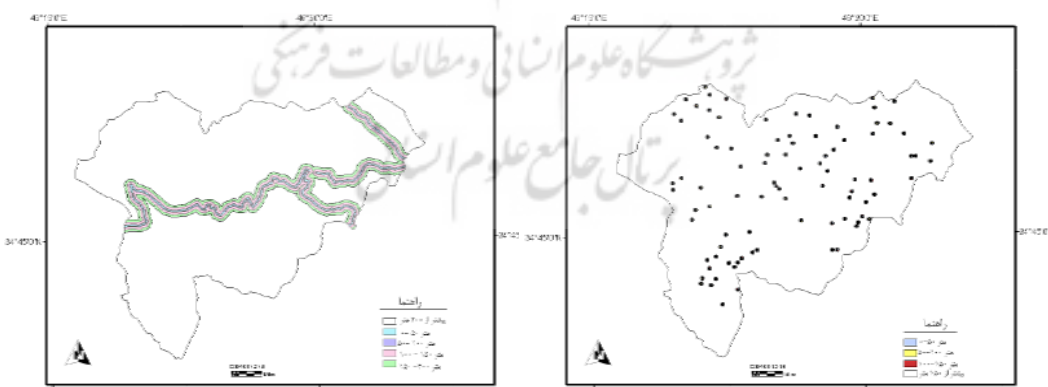
فرض وجود یک حداقل همبستگی بین هر متغیر با متغیر دیگر، پتانسیل ناپایداری مورد تجزیه و تحلیل قرار می‌گیرد (شریعت‌جعفری و همکاران، ۱۳۷-۱۴۳: ۱۳۱۷). بر این اساس تحقیق حاضر با طیّ مراحل زیر به انجام رسیده است:

۱- تهییه‌ی لایه‌های اطلاعات: شامل نقشه‌های: پراکنش لغزش، لیتوژئی، شیب، کاربری اراضی، فاصله از جاده، فاصله از زهکش، فاصله از سکونتگاه، شکل دامنه و جهت‌گیری دامنه (شکل‌های ۲ تا ۱۰). از میان آنها لایه‌ی پراکنش لغزش، متغیر وابسته و بقیه‌ی لایه‌ها، متغیر مستقل می‌باشند. متغیرهای مستقل در این تحقیق عواملی هستند که توزیع زمین‌لغزش‌های گذشته را توجیه می‌کنند. در ضمن کلیه‌ی مراحل ثبت، پردازش و تولید این نقشه‌ها در محیط GIS انجام پذیرفته است.



شکل ۳: نقشه‌ی کاربری ارضی حوضه‌ی جوانرود*

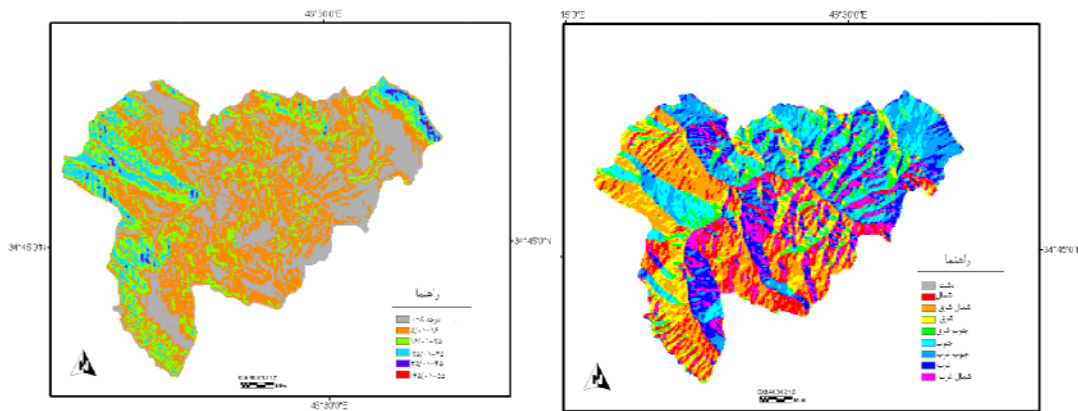
شکل ۴: نقشه‌ی فاصله از آبراهه در حوضه‌ی جوانرود*



شکل ۵: نقشه‌ی فاصله از جاده در حوضه‌ی جوانرود*

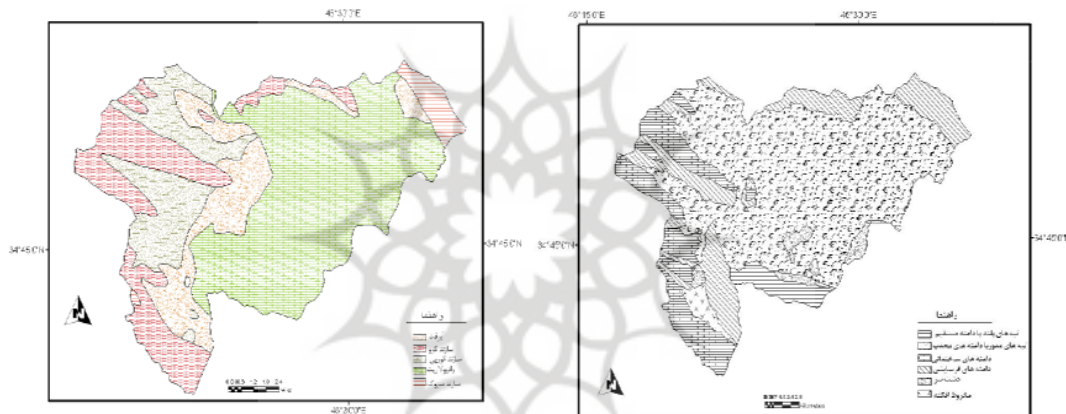
شکل ۶: نقشه‌ی فاصله از روستاهای در حوضه‌ی جوانرود*

* مأخذ: تکارنده‌گان



شکل ۷: نقشه‌ی طبقات شیب در حوضه‌ی جوانرود*

شکل ۸: نقشه‌ی جهت‌گیری دامنه در حوضه‌ی جوانرود*



شکل ۹: نقشه‌ی طبقات لیتو‌لوژی در حوضه‌ی جوانرود*

شکل ۱۰: نقشه‌ی واحدهای زئومورفولوژی در حوضه‌ی جوانرود*

پژوهشگاه علوم انسانی و مطالعات فرهنگی

* مأخذ نگارندگان

۲- همپوشانی^۱ و قطع^۲ تک‌تک نقشه‌های عامل (به عنوان متغیرهای مستقل) با نقشه پراکنش لغزش (به عنوان متغیر وابسته) به‌طور جداگانه و محاسبه تراکم لغزش در هر رده یا طبقه از عوامل فوق.

۳- محاسبه مقادیر وزنی نقشه‌های عامل یا همان متغیرهای مستقل (مثالاً لیتو‌لوژی یا...) در رده‌ها یا طبقات مختلف (مثالاً لایه سازند گورپی یا...) با استفاده از فرمول زیر:

1- Over lay
2- Cross

$$W_{\text{area}} = (A/B * 100) - (c/d * 100)$$

که در آن A تعداد پیکسل‌های دارای توده‌ی لغزشی در داخل هر طبقه، B تعداد پیکسل‌های هر طبقه‌ی عامل xi، C تعداد پیکسل‌های لغزشی کل حوضه و d نیز تعداد پیکسل‌های کل حوضه می‌باشد (جدول‌های ۱ تا ۸) (شریعت جعفری، ۱۳۹۷).

برای محدوده‌هایی که فاقد لغزش بوده است واریانس آن محاسبه شده و ارقام حاصل به عنوان وزن واحد فاقد لغزش در نظر گرفته شده است. لازم به اشاره است که وزن‌دهی به طبقات مختلف سه متغیر: لیتولوژی، رئومورفولوژی و کاربری اراضی چون از نوع پارامترهای کیفی بوده‌اند از قضاوت کارشناسی استفاده شده است.

۴- همپوشانی و تلفیق تمام نقشه‌های وزنی و تهیه‌ی نقشه‌ی پهنه‌بندی خطر لغزش در سطح خطر خیلی زیاد، خطر زیاد، خطر متوسط، خطر کم، به عنوان نتایج خروجی مدل (شکل ۱۱).

جدول ۱: میزان تراکم لغزش‌ها بر روی واحدهای زمین‌شناسی و وزن‌های محاسبه شده

نام سازند	تعداد پیکسل هر طبقه B	مساحت m ²	تعداد پیکسل لغزشی هر طبقه A	مساحت m ²	تراکم لغزش A/B*100	C/D*100	وزن مدل تراکم سطح (W)
رادیولاریت	۲۰۷۰۷	۱۷۵۲۶۴۰۴۸	۲۵۶	۲۱۶۶۷۸۴	۱/۲۳۶۲۹	۱/۳۶	-۰/۱۳
گرو	۸۱۲۶	۶۸۷۷۸۴۶۴	۴۰	۳۳۸۵۶۰	۰/۴۹۲۲۴	۱/۳۶	-۰/۸۷
گوریبی	۶۷۸۶	۵۷۴۳۶۷۰۴	۲۳۸	۲۰۱۴۴۳۲	۳/۵۰۷۲۲	۱/۳۶	۲/۱۴
ابرفت	۶۴۵۱	۵۴۶۰۱۲۶۴	۵۹	۴۹۹۳۷۶	۰/۹۱۴۵۸	۱/۳۶	-۰/۴۵
سروک	۱۳۷۳	۱۱۶۲۱۰۷۲	۰	۰	۰	۱/۳۶	-۰/۰۱۳۶۵

مأخذ: نگارنده‌گان

جدول ۲: میزان تراکم لغزش‌ها بر روی طبقات شبیب و وزن‌های محاسبه شده

طبقات شبیب	تعداد پیکسل هر طبقه B	مساحت m ²	تعداد پیکسل لغزشی هر طبقه A	مساحت m ²	تراکم لغزش A/B*100	C/D*100	وزن مدل تراکم سطح (W)
>۸	۱۳۷۷۹	۱۱۶۶۲۵۴۵۶	۲۱۴	۱۸۱۱۲۹۶	۱/۵۵۳۰۸	۱/۳۶	۰/۱۹
۱۶-۸	۱۶۱۴۷	۱۳۶۶۶۸۲۰	۲۷۲	۲۳۰۲۲۰۸	۱/۶۸۴۵۲	۱/۳۶	۰/۳۲
۲۵-۱۶	۹۸۹۲	۸۳۷۷۲۵۸۸۸	۹۲	۷۷۸۶۸۸	۰/۹۳۰۰۴	۱/۳۶	-۰/۴۳
۳۵-۲۵	۳۳۰۸	۲۷۹۹۸۹۱۲	۱۵	۱۲۶۹۶۰	۰/۴۵۳۴۴	۱/۳۶	-۰/۹۱
۴۵-۳۵	۳۱۳	۲۶۴۹۲۳۲	۰	۷۷۸۶۸۸	۰/۹۳۰۰۴	۱/۳۶	-۰/۰۱۳۶۵
۵۵-۴۵	۷	۵۹۲۴۸	۰	۰	۰	۱/۳۶	-۰/۰۱۳۶۵

مأخذ: نگارنده‌گان

جدول ۳: میزان تراکم لغزش‌ها بر روی واحدهای جهت‌گیری دامنه و وزن‌های محاسبه شده

جهت‌گیری دامنه	هر طبقه B پیکسل هر طبقه B	تعداد پیکسل هر طبقه B	مساحت m2	لغزشی هر طبقه A	مساحت m2	تراکم لغزش A/B*100	C/D*100	وزن مدل تراکم سطح (W)
مسطح	۶۸	۵۷۵۵۵۲	۰	۰	۰	۰	۱/۳۶	-۰/۰۱۳۶۵
شمال	۵۲۸۷	۴۴۷۴۹۱۶۸	۳۹۷۸۰۸	۴۷	۴۴۷۴۹۱۶۸	۰/۸۸۸۹۷	۱/۳۶	-۰/۰۴۸
شمال شرق	۸۰۶۴	۶۸۲۵۳۶۹۴	۱۲۰۱۸۸۸	۱۴۲	۶۸۲۵۳۶۹۴	۱/۷۶۰۹۱	۱/۳۶	۰/۴
شرق	۴۷۳۷	۴۰۰۹۳۹۶۸	۴۴۸۵۹۲	۵۳	۴۰۰۹۳۹۶۸	۱/۱۱۸۸۵	۱/۳۶	-۰/۰۲۵
جنوب شرق	۳۳۶۲	۲۸۴۵۵۹۶۸	۵۶۷۰۸۸	۶۷	۲۸۴۵۵۹۶۸	۱/۹۹۲۸۶	۱/۳۶	۰/۶۳
جنوب	۵۶۰۹	۴۷۴۷۵۴۷۶	۶۳۴۸۰۰	۷۵	۴۷۴۷۵۴۷۶	۱/۳۳۷۱۳	۱/۳۶	-۰/۰۰۳
جنوب غرب	۶۶۰۰	۵۵۸۶۲۴۰۰	۶۷۷۱۲۰	۸۰	۵۵۸۶۲۴۰۰	۱/۲۱۲۱۲	۱/۳۶	-۰/۰۱۵
غرب	۵۲۲۵	۴۴۲۲۴۴۰۰	۴۵۷۰۵۶	۵۴	۴۴۲۲۴۴۰۰	۱/۰۳۳۴۹	۱/۳۶	-۰/۰۳۳
شمال غرب	۴۴۹۴	۳۸۰۳۷۷۱۶	۶۳۴۸۰۰	۷۵	۳۸۰۳۷۷۱۶	۱/۶۶۸۸۹	۱/۳۶	۰/۳

مأخذ: نگارندگان

جدول ۴: میزان تراکم لغزش‌ها بر روی لایه فاصله از جاده و وزن‌های محاسبه شده

طبقات قابل از جاده (متر)	تعداد پیکسل هر طبقه B	مساحت m2	لغزشی هر طبقه A	مساحت m2	تراکم لغزش A/B*100	C/D*100	وزن مدل تراکم سطح (W)
۵۰-۰ متر	۶۲۰	۵۲۴۷۶۸۰	۶۲	۵۲۴۷۶۸	۱۰	۱/۳۶	۸/۸۴
۱۰۰-۵۰ متر	۶۳۹	۵۴۰۸۴۹۶	۶۶	۵۴۰۸۴۹۶	۱۰/۳۲۸۶۳	۱/۳۶	۸/۹۶
۱۵۰-۱۰۰ متر	۶۲۰	۵۲۴۷۶۸۰	۵۰	۵۲۴۷۶۸	۸/۰۶۴۵۱	۱/۳۶	۶/۷
۲۰۰-۱۵۰ متر	۶۰۲	۵۰۹۵۳۲۸	۳۸	۵۰۹۵۳۲۸	۶/۳۱۲۲۹	۱/۳۶	۴/۹۴
بیشتر از ۲۰۰ متر	۴۰۹۵۳	۳۴۶۶۲۶۱۹۲	۳۸۸	۳۴۶۶۲۶۱۹۲	۰/۹۴۷۴۲	۱/۳۶	-۰/۰۴۱

مأخذ: نگارندگان

جدول ۵: میزان تراکم لغزش‌ها بر روی واحدهای کاربری اراضی و وزن‌های محاسبه شده

طبقات کاربری اراضی	تعداد پیکسل هر طبقه B	مساحت m2	لغزشی هر طبقه A	مساحت m2	تراکم لغزش A/B*100	C/D*100	وزن مدل تراکم سطح (W)
جنگل بلوط (تخریب شده)	۳۴۳۱۰	۲۹۰۳۹۹۸۴۰	۶۰۴	۵۱۱۲۲۵۶	۱/۷۶۰۴۱	۱/۳۶	۰/۴
اراضی بایر	۱۶۵۸	۱۴۰۳۳۳۱۲	۰	۰	۰	۱/۳۶	-۰/۰۱۳۶۵
اراضی دیم	۶۳۵	۵۳۷۴۶۴۰	۰	۰	۰	۱/۳۶	-۰/۰۱۳۶۵
مرتع	۵۴۲۴	۴۵۹۰۸۷۳۶	۰	۰	۰	۱/۳۶	-۰/۰۱۳۶۵
مرتع و باغ	۱۴۱۵	۱۱۹۷۶۵۶۰	۰	۰	۰	۱/۳۶	-۰/۰۱۳۶۵

مأخذ: نگارندگان

جدول ۶: میزان تراکم لغزش‌ها بر روی لایه‌ی فاصله از آبراهه و وزن‌های محاسبه شده

وزن مدل تراکم سطح (W)	C/D*100	تراکم لغزش A/B*100	مساحت m2	تعداد پیکسل لغزشی هر طبقه A	مساحت m2	تعداد پیکسل هر طبقه B	طبقات قابل از آبراهه (متر)
۲/۱۷	۱/۳۶	۳/۵۳۱۷۲	۹۱۴۱۱۲	۱۰۸	۲۵۸۸۲۹۱۲	۳۰۵۸	۱۰۰-۰ متر
۲/۱۷	۱/۳۶	۳/۵۳۱۷۲	۹۱۴۱۱۲	۱۰۸	۲۴۴۴۴۰۳۲	۲۸۸۸	۲۰۰-۱۰۰ متر
۰/۹۲	۱/۳۶	۲/۲۸۵۶۴	۱۵۶۵۸۴۰	۱۸۵	۶۸۵۰۷۶۱۶	۸۰۹۴	۵۰۰-۲۰۰ متر
-۰/۶۷	۱/۳۶	۰/۶۹۰۴۲	۱۷۱۸۱۹۲	۲۰۳	۲۴۸۸۵۸۵۲۸	۲۹۴۰۲	بیشتر از ۵۰۰ متر

مأخذ: نگارندگان

جدول ۷: میزان تراکم لغزش‌ها بر روی لایه فاصله از روستا و وزن‌های محاسبه شده

وزن مدل تراکم سطح (W)	C/D*100	تراکم لغزش A/B*100	مساحت m2	تعداد پیکسل لغزشی هر طبقه A	مساحت m2	تعداد پیکسل هر طبقه B	طبقات قابل از روستا (متر)
۱۰/۱۷	۱/۳۶	۱۱/۵۳۸۴۶	۷۶۱۷۶	۹	۶۶۰۱۹۲	۷۸	۵۰-۰ متر
۱۰/۱۷	۱/۳۶	۱۱/۵۳۸۴۶	۷۶۱۷۶	۹	۲۰۷۳۶۸۰	۲۴۵	۱۰۰-۵۰ متر
-۰/۰۱۳۶۵	۱/۳۶	.	.	.	۳۴۶۱۷۷۶	۴۰۹	۱۵۰-۱۰۰ متر
۰/۰۰۷۵۵	۱/۳۶	۱/۳۶۷۵۵	۴۹۴۲۹۷۶	۵۸۴	۳۶۱۴۴۶۶۵۶	۴۲۷۰۴	بیشتر از ۱۵۰ متر

مأخذ: نگارندگان

جدول ۸: میزان تراکم لغزش‌ها بر روی واحدهای ژئومورفولوژی و وزن‌های محاسبه شده

وزن مدل تراکم سطح (W)	C/D*100	تراکم لغزش A/B*100	مساحت m2	تعداد پیکسل لغزشی هر طبقه A	مساحت m2	تعداد پیکسل هر طبقه B	طبقات اشکال ژئومورفولوژی
۰/۷۹	۱/۳۶	۲/۱۵	۴۸۹۲۴۰۰	۶۰۴	۲۲۶۵۰۸۴۰۴	۲۸۰۶۴	تپه‌های کوتاه با دامنه‌های محدب
-۰/۰۱۳۶۵	۱/۳۶	.	.	.	۱۲۸۶۲۸۰۰	۱۵۸۸	تپه‌های بلند با دامنه‌های مستقیم
-۰/۰۱۳۶۵	۱/۳۶	.	.	-۰	۶۲۶۱۳۰۰	۷۳۳	مخروط افکنه
-۰/۰۱۳۶۵	۱/۳۶	.	.	-۰	۱۱۶۵۵۹۰۰	۱۴۳۹	دشت سر
۰/۲۶۴	۱/۳۶	۰/۳۶۰۰۴	۱۹۴۴۰۰	۲۴	۵۳۹۹۴۶۰۰	۶۶۶۶	دامنه‌های مستقیم(ساختمانی)
۰/۰۸۶۵	۱/۳۶	۰/۱۱۷۷۴	۷۲۹۰۰	۹	۶۱۹۱۶۴۰۰	۷۶۴۴	دامنه‌های مقرر (فرسایشی)

مأخذ: نگارندگان

نتایج و بحث

الف- نتایج

نتایج حاصل از تحلیل جداگانه هر یک از متغیرهای مستقل با توده‌ی لغزشی (به عنوان متغیر وابسته) در حوضه‌ی آبخیز جوانرود با توجه به ۸ لایه‌ی اطلاعاتی شامل: شیب، لیتوژئی، جهت‌گیری دامنه، فاصله از جاده، فاصله از آبراهه، فاصله از سکونتگاه، کاربری ارضی و ژئومورفولوژی در جداول ۱ تا ۸ ارایه شده است. نتایج نشان می‌دهد که دو سازند گوری بی‌با تراکم ۲/۱۴ درصد و رادیولاریت با تراکم ۰/۱۳-۰ درصد، از بیشترین استعداد برای وقوع لغزش در حوضه‌ی جوانرود برخوردارند. از لحاظ شیب، طبقه شیب ۸-۱۶ درصد، با حدود ۰/۳۲ درصد تراکم، بیشترین لغزش را به خود اختصاص داده است. بنابراین هر چند شیب از عوامل ژئومورفولوژیکی مؤثر در ناپایداری دامنه‌هاست و رابطه‌ی آن به طور مستقل و تئوریک با ناپایداری دامنه یک رابطه‌ی خطی مستقیم است، اما در عمل شاهد یک رابطه‌ی غیرخطی در منطقه‌ی مورد مطالعه هستیم. دلیل آن به شکل دامنه و نوع لغزش مربوط می‌شود که مورد بحث قرار خواهد گرفت. به هرحال از نظر جهت‌گیری دامنه، دامنه‌های رو به شمال شرق و از نظر کاربری ارضی نیز بیشترین تراکم لغزش با اراضی جنگل بلוט تخریب شده انطباق دارد. اما مهمترین نتایج مربوط به تبعیت تراکم نقاط لغزشی با زیر بری دامنه‌ها توسط رودخانه و جاده است. این بررسی معلوم کرده است که دامنه‌های اراضی تپه ماهوری متشكل از لایه‌های شیلی و مارنی حوضه بهدلیل برخورداری از قشر ضخیم خاک و مواد هوازده و همچنین تخریب پوشش جنگل روی آن، چنانچه در معرض زیربری قرار گیرد دچار لغزش خواهد شد. چون عمدۀ زیربری‌ها در این حوضه نتیجه‌ی دخالت انسان بوده است می‌توان گفت انسان به عنوان یک فاکتور مهم در وقوع ناپایداری‌های حوضه محسوب می‌شود. بر این اساس حدود ۰/۵۶٪ اراضی حوضه‌ی جوانرود در معرض ناپایداری با خطر زیاد تا خیلی زیاد قرار دارد (جدول ۹).

ب- بحث

حوضه‌ی آبخیز جوانرود از لحاظ زمین‌لغزش از مناطق شناخته شده‌ی استان کرمانشاه است. انطباق لغزش‌های گذشته با سنگ‌های مارنی و شیلی حاکی از آن است که دو سازند گوری و رادیولاریت کرمانشاه زمینه‌ساز این پدیده در منطقه‌ی مورد مطالعه محسوب می‌شوند. این دو سازند از دیدگاه زمین‌ریخت‌شناسی، عمدهاً اراضی تپه‌ماهوری و یا کوههای گنبدی با دامنه‌های محدب ساخته‌اند. آسیب‌پذیری این سازندها و شرایط اقلیمی حاکم بر منطقه (نیمه‌مرطوب سرد) باعث هوازدگی شدید آنها شده است. ماندگاری مواد هوازده بر روی سطوح کم شیب این

تپه‌ها، افزایش ضخامت آنها را به همراه داشته است. تحت حاکمیت همین شرایط نیز جنگل بلوط به طور طبیعی در سطح آنها روییده است. از سوی دیگر فشردگی کوهها و عمق دره‌ها باعث شده است تا عمدۀ فعالیت‌های انسانی جهت مقاصد مختلف در سطح همین اراضی صورت گیرد. این اقدامات بخصوص توسعه‌ی کشاورزی و دامداری موجب تخریب شدید اراضی جنگلی شده است. اصولاً پوشش درختچه‌ای تنک نظیر جنگل مخروبه در صورت فراهم بودن سایر شرایط بستر مناسبی جهت ناپایداری‌ها محسوب می‌شود (گرین وی^۱، ۱۹۸۷-۲۳۰). نتیجه‌ی مطالعات (ویکزورک^۲، ۱۹۹۷، ۳۱-۲۱) نیز حاکی از نقش مثبت دامنه‌های محدب در وقوع لغزش است. هر دو این شرایط در منطقه‌ی جوانرود وجود دارد.

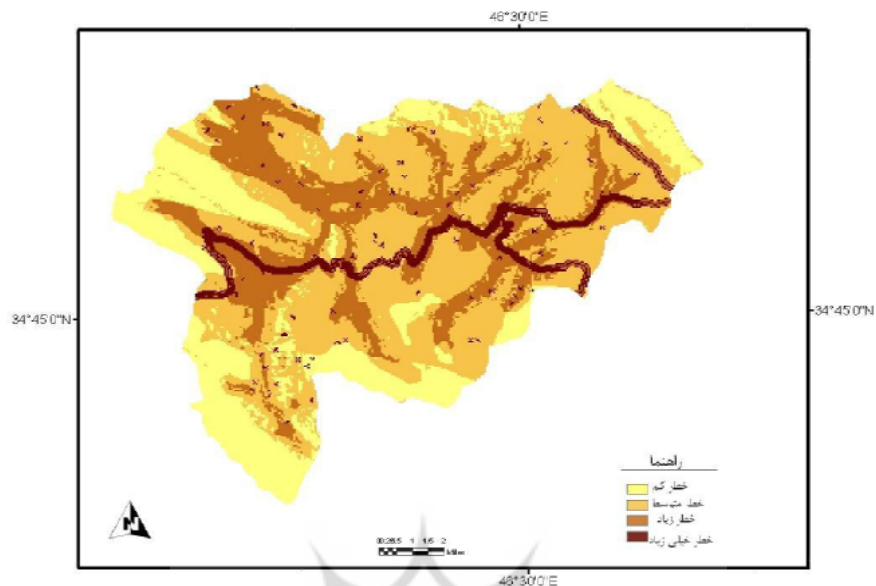
هنگامی‌که خاک و مواد دامنه‌ای این اراضی آب جذب می‌کنند ناپایدار می‌شوند که با زیربری پای آنها توسط زهکش یا جاده، امکان جابجایی ناگهانی این مواد در قالب لغزش فراهم می‌گردد. در شکل ۱۲ نمونه‌هایی از این پدیده در حوضه‌ی مورد بررسی مشاهده می‌شود. مطابق بررسی‌های انجام شده از طریق مشاهده‌ای، لغزش‌های منطقه‌ی جوانرود از نوع سطحی هستند و عمدتاً خاک و مواد هوازده (رگولیت) را تحت تأثیر قرار می‌دهند. نحوه‌ی حرکت آنها به اشکال مختلف است. از میان ۳۱ رخداد لغزشی ثبت شده در سطح حوضه ۵۴.۸ درصد آنها از نوع لنداسلاید، ۲۵.۸ درصد از نوع سیلانی و ۱۹.۴ درصد از نوع مرکب (ترکیبی از اسلامید و سیلان) بوده است. هرچند لغزش‌های حوضه‌ی جوانرود از نوع سطحی هستند و این نوع لغزش‌ها نیز معمولاً در ابعاد خیلی بزرگ روی نمی‌دهد با این حال پدیده‌ی لغزش در این حوضه یک تهدید جدی برای زمین‌های کشاورزی و اراضی مرتعی است و همچنین برای تردد جاده‌ای خطرآفرین می‌باشند. با توجه به ابعاد توده‌های لغزشی و شکل آنها با احداث دیوار در پای دامنه‌ها در ترانشه‌های جاده می‌توان تا حدود زیادی از خطر آنها جلوگیری کرد.

جدول ۹: مساحت وسعت طبقات لغزشی در مدل تراکم سطح

طبقات لغزشی	درصد مساحت	مساحت (متر مربع)
خطرکم	۸/۵۷	۳۱۵۴۹۵۰۰
خطرمتوسط	۲۵/۳۵	۹۳۳۲۰۰۹۶
خطرزیاد	۴۹/۲۱	۱۸۱۱۸۰۸۰۰
خطرخیلی زیاد	۱۶/۸۶	۶۲۱۰۲۷۰۰

مأخذ: نگارنده‌گان

1 -Green Way, D.R
2 -Wieczorek, G. F



شکل ۱۱: نقشه‌ی پتانسیل خطر زمین‌لغزش در حوضه‌ی جوانرود

مأخذ: نگارنده‌گان



شکل ۱۲: نمونه‌هایی از حرکات دامنه‌ای در حوضه‌ی آبخیز جوانرود

مأخذ: نگارنده‌گان

منابع

- ۱- احمدی، حسن و علی طالبی اسفندرانی (۱۳۸۰). بررسی عوامل مؤثر در ایجاد حرکات توده‌ای (لغزش)، مطالعه موردنی: منطقه اردل استان چهارمحال بختیاری، مجله منابع طبیعی ایران. شماره ۵۴.
- ۲- احمدی، حسن؛ شیرین محمدخانی؛ سادات فیض‌نیا و جمال قدوسی (۱۳۸۴). ساخت مدل منطقه‌ای خطر حرکت‌های توده‌ای با استفاده از ویژگی‌های کیفی و تحلیل سلسله‌ی مراتبی سیستم‌ها (AHP)، مطالعه موردنی: حوزه آبخیز طالقان، مجله منابع طبیعی ایران، شماره ۵۸.
- ۳- تاربوک، ادوارد و فردیک، جیش‌لوکین (۱۹۸۹). مبانی زمین‌شناسی، ترجمه‌ی رسول اخروی. تهران. انتشارات مدرسه.
- ۴- ثروتی، محمدرضا؛ حسن لشکری و اسدالله مؤمنی (۱۳۸۷). هیدرولوژی‌مورفولوژی حوضه‌ی آبریز رودخانه‌ی لیله جوانرود، جغرافیا و توسعه ناحیه‌ای. شماره ۱۰.
- ۵- جباری، ایرج (۱۳۸۳). عوامل ناپایداری دامنه‌ها در مناطق کوهستانی غرب دریاچه ارومیه، پژوهش‌های جغرافیایی. شماره ۵۰.
- ۶- جباری، ایرج و جواد میرنظری (۱۳۸۶). پهنه‌بندی رویداد زمین‌لغزش در حوضه‌ی آبریز پشت‌تنگ، شهرستان سرپل ذهاب، استان کرمانشاه، پژوهش‌های جغرافیایی. شماره ۵۹.
- ۷- جلالی، نادر (۱۳۸۱). ارزیابی تعدادی از روش‌های پهنه‌بندی خطر زمین‌لغزش در حوضه‌ی طالقان، گزارش نهایی طرح تحقیقاتی. تهران. پژوهشکده حفاظت خاک و آبخیزداری.
- ۸- حق‌شناس، ابراهیم (۱۳۷۴). پهنه‌بندی خطر زمین‌لغزش و ارتباط آن با تولید رسوب در حوضه‌ی آبخیز طالقان، پایان‌نامه کارشناسی ارشد. تهران. دانشگاه تربیت مدرس.
- ۹- خطیبی، مریم (۱۳۸۳). بررسی نقش ویژگی‌های سازنده‌ای سطحی در وقوع لغزش، مطالعه‌موردی: دامنه‌های شمالی قوشده‌داغ (بین اهر و مشکین شهر)، فصلنامه‌ی تحقیقات جغرافیایی، شماره ۷۲.
- ۱۰- سیارپور، م (۱۳۷۸). پهنه‌بندی پتانسیل خطر زمین‌لغزش در جنوب خلخال، استان اردبیل، پایان‌نامه کارشناسی ارشد. دانشکده منابع طبیعی. دانشگاه تهران.
- ۱۱- شادر، صمد؛ جمال قدوسی؛ سیدعلی خلخالی و عطاء‌الله کلارستاقی (۱۳۸۷). بررسی و ارزیابی روش‌های آماری دو متغیره و LNRE در پهنه‌بندی خطر زمین‌لغزش، مطالعه موردنی: حوزه‌ی آبخیز جنت رودبار. پژوهش و سازندگی در منابع طبیعی. شماره ۷۸.
- ۱۲- شریعت جعفری، محسن و جعفر غیومیان (۱۳۸۷). ارزیابی کارایی مدل آنالیز آماری دو متغیره در پهنه‌بندی خطر رانش زمین، مجله علوم دانشگاه تهران. شماره ۳۴.
- ۱۳- شیرانی، کورش؛ جعفر غیومیان و احمد مختاری (۱۳۸۴). بررسی و ارزیابی روش‌های آماری دو متغیره و چند متغیره در پهنه‌بندی خطر زمین‌لغزش حوضه رودخانه ماربر، نشریه‌ی آب و آبخیز. پژوهشکده حفاظت خاک و آبخیزداری.
- ۱۴- فاطمی عقد، م و ج، غیومیان و ع، اشقلی فراهانی (۱۳۸۲). ارزیابی کارایی روش‌های آماری در تعیین پتانسیل خطر زمین‌لغزش، فصلنامه علوم زمین. شماره ۴۷-۴۸.

- ۱۵- فرهادی نژاد، ط (۱۳۸۱). ارزیابی روش‌های پهنه‌بندی خطر زمین‌لغزش در حوضه سرخاب، گزارش نهایی طرح تحقیقاتی. تهران پژوهشکده حفاظت خاک و آبخیزداری.
- ۱۶- کرم، عبدالامیر و فرج‌الله محمودی (۱۳۸۴). مدل‌سازی کمی و پهنه‌بندی زمین‌لغزش در زاگرس چین- خورده، مطالعه‌ی موردی: حوزه‌ی آبخیز سرخون در استان چهارمحال بختیاری. پژوهش‌های جغرافیایی. شماره .۵۱.
- ۱۷- کرم، عبدالامیر (۱۳۸۰)؛ مدل‌سازی و پهنه‌بندی خطر زمین‌لغزش در زاگرس چین‌خورده، مطالعه موردی: حوضه آبخیز سرخون استان چهارمحال بختیاری. رساله دکتری. دانشکده علوم انسانی. دانشگاه تربیت مدرس.
- ۱۸- کوک، آر، یو و جی، سی، دورکمپ (۱۳۷۷). ژئومورفولوژی و مدیریت محیط، ترجمه شاپور گودرزی نژاد. تهران. انتشارات سمت.
- ۱۹- محمودی، فرج‌الله (۱۳۸۲). ژئومورفولوژی دینامیک، تهران. انتشارات دانشگاه پیام نور.
- ۲۰- هاشمی طباطبایی، سعید (۱۳۸۶). پهنه‌بندی خطر زمین‌لغزش در بخشی از استان اردبیل، مجله تازه‌های ساختمان و مسکن.

- 21- Anbalagan, R(1991). Terrain evaluation and landslide hazard zonation for environmental regeneration and land use planning in mountainous terrain. A. A. Balkema Rotterdam Brookfield.
- 22- Anbalagan, R (1992). Landslide hazerd development and zonation mapping in mountainous terrain. Engineering geology. 32.
- 23- Atkin, B. C; Johnson, J.A (1988). The earth Problems and perspectives. USA. Blackwell scientific Publications.
- 24- Dai, F. C; C. F. Lee (2002). Landslide characteristics and slope instability modeling using GIS. lantau island. Hong Kong. geomorphology. 42.
- 25- Green way, D.R(1987).vegetation and slope stability.Wiley.New york.
- 26- Guzzetti, F; M, cardinali; P. Relchenbach; A. Carrara (2000). Comparing landslide map.A case study in the upper Tiber river basin. Central Itly. environmental management. 25.
- 27- Moreiras, S. M (2005). Landslide susceptibility zonation in the Rio Mendoza vally. Argantina. geomorphology. 66.
- 28- Sarolee, K. M (2001); Statistical analysis of landslide susceptibility at Yonging. Korea.Environmental geology. 40.
- 29- Sara, L; M, Kyungduck (2001). Statistical analysis of landslide susceptibility at Yonging. Korea. Environmental geology. 40.
- 30- Van Westen,C. J; N. Rengers;R . Soaters (1993). Geographic information systems applied to landslide hazard zonation. Mapping awareness and GIS in Europe.17. 5.
- 31- Van Westen, C. J; N. Rengers; M. T. J. Terline; R. soaters (1997). Predication of the occurrence of slope instability phenomena through GIS-Based hazard zonation. Geologisches Runds chall. 86.
- 32- Wieczorek, G. F; Mandron. G; Decola. L (1997). The influence of hillslope hazards mitigation: mechanice, prediction and assessment. American Society of civil Enggineers. New York.